

鹿児島高専 正員 ○村田秀一

九州大学 正員 山内豊穣

1. まえがき 亂さないシラスのような材料は引張り強さを持ち、脆性材料として取扱うことができるることは前に報告した。しかし、乱さないシラス供試体用いて定量的な解析を進めるには複数の困難を伴うことが多い。そこで、本文はスチールボール・ガラスピースを各々エバースティック・デブコンで接着させた作成した供試体用いて、引張りおよび圧縮試験を行つ、固結した粒状体の力学的性質を明らかにすると共に、乱さないシラス供試体の定量的解析を含めて進めようとするものである。

2. 試料および試験方法 ガラスピースをデブコンと硬化剤を用いて練り混ぜて割りモールドに流し込み更に固め、ポーラス円柱供試体を作成した。デブコンの溶漬はないので再生はできない。スチールボールは、エバースティックと溶済MEKを重量比7:3として、ガラスピースの場合と同様の方法で円柱供試体を作成した。デブコンは硬化が早いがエバースティックは遅い。各々の供試体は、10日間放置して試験を行つた。三軸試験は普通型と軟岩三軸圧縮試験機、また、引張り試験は一輪的引張装置を用いた。

3. 試験結果および考察 図-1に乱さないシラス供試体の代表的な応力・ひずみ曲線を示す。図中の $\beta_1 = 2$ は1回ヤン断した後、供試体を再成型して、再度ヤン断した結果である。

表-1 供試体の性質

N	材料	密度直角	接着剤	比重	間隔比	β_1	β_2	
1	ガラスピース	G.B	スルス4	デブコン	2.50	0.600	3.00	67.66
2	スチールボール	S.L	4.76	エバース	1.9.67	1.100	0.95	4.43
3	"	SS	2.07	"	"	1.40	4.79	

を持つが $\beta_1 = 2$ においては見かけの β_2 は0となる。図-3(a)で示すように、ヤン断領域はヤン断面付近にのみ限られるのが特徴である。したがって、引張り

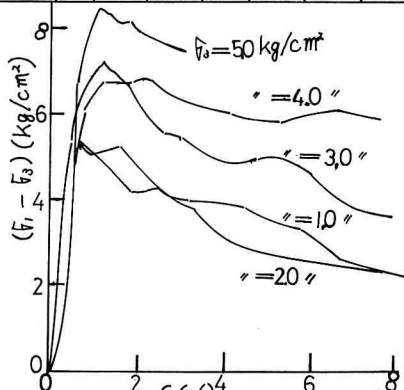


図-1 乱さないシラス供試体の応力・ひずみ曲線

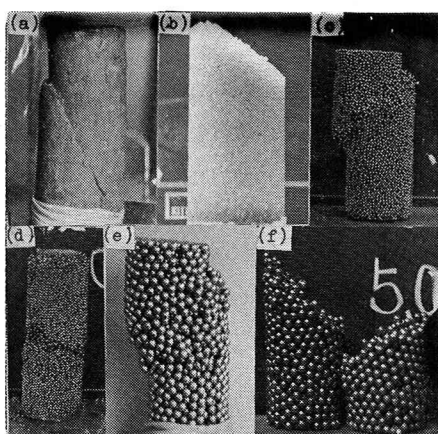


図-3 破壊した供試体の様相

- (a) 乱さないシラス供試体 ($f_0 = 2.5 \text{ kg/cm}^2, N = 2$)
- (b) 固結ガラスピース ($f_0 = 4.0 \text{ kg/cm}^2$)
- (c)(d) 固結スチールボール ($f_0 = 2 \text{ kg/cm}^2, f_1 = 4.0 \text{ kg/cm}^2$)
- (e)(f) 固結スチールボール ($f_0 = 2 \text{ kg/cm}^2, f_1 = 5 \text{ kg/cm}^2$)

亂さは最初のセん断には
寄与するが $\mu = \sqrt{3}$ にかけ
る強度成分は、拘束圧に
抵抗する成分と粒子の摩
擦による成分である。圖
一、△にガラスビーズ
(G.B), スチールボール
(S.L)の応力・ひずみ曲
線を示し圖一-3に各々の
供試体の破壊時の振幅を
示した。圖からわからよ
うに、破壊にいたるまで
のひずみはかなり小さく、
ピークが明瞭に現われ、
乱さはないシラスと同様セ
ン断面を形成する。ピー
ク後の応力はかなり不規
則でダイマルゲージの針
が振れ続く。これは、セ
ン断領域が完全に粒状体
ではなくて丸めである。こ
のように、応力・ひずみ
の関係は、乱さはないシラ
スと類似し、脆性的な挙
動

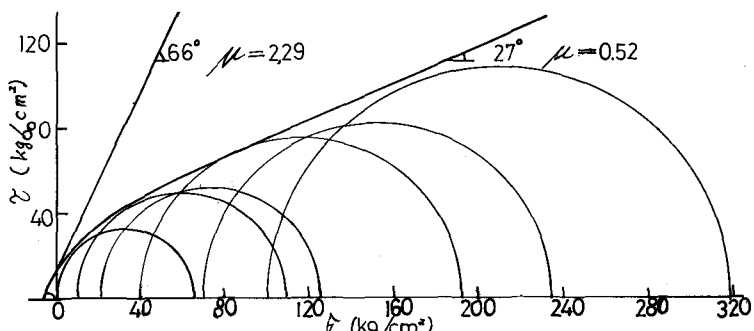


図-4 固結されたガラスビーズの破壊包絡線

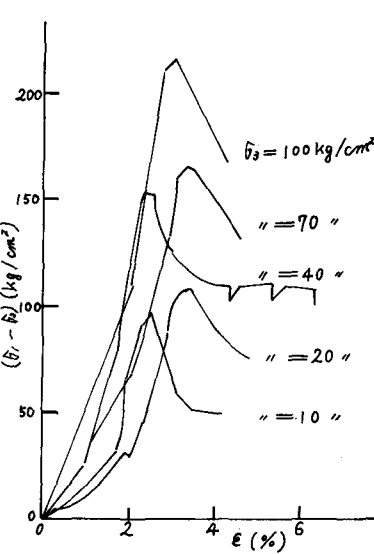


図-5 固結紙ガラスビーズの応力・ひずみ曲線

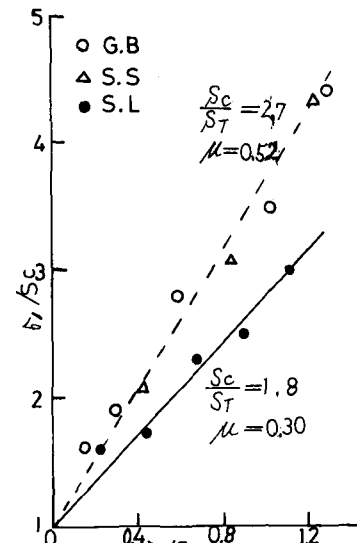


図-6 三軸試験結果

動で破壊し、破壊後は粒状体の摩擦と倒圧に抵抗する成分が残る。また、圖一-3からもわかるように、倒圧の増加に伴って破壊角が減少する。圖一-4にガラスビーズの破壊包絡線を示す。△が0付近にかけられたφは66°とはるが倒圧 τ_0 の増加に伴つて27°とはる。この傾向はスチールボールの場合も同様である。Coulomb-Hencky論によれば、 $\phi/\sigma_c - \phi/\sigma_t = 1 \dots (1)$, $\sigma_c/\sigma_t = \mu + (\mu^2 + 1)^{1/2} / (\mu + (\mu^2 + 1)^{1/2}) \dots (2)$ ここで $\mu = \tan \phi$ で表わされる。圖一-6から得られる σ_c/σ_t と(2)式から求めたG.Bのφは27°(SS; 27°, SL; 17°), 実験から得られる σ_c/σ_t と用いて得られるφは66°(SS; 33°, SL; 40°)となり試験結果と一致する。このように、固結した粒状体の破壊包絡線は引張り領域で曲線、圧縮領域で直線と示される。このことは圖一-1に示した乱さないシラスにおいても同様の結果が得られる。

あとがき、本研究を進めらにあたり本校学生松田隆繁君の協力を得た。ここに深謝の意を表する。また、文部省科学研究費の補助を受けたことを付記する。

参考文献 1) 村田、山内：地山シラスの强度特性について、第7回国土木学会年次学術講演集847.10

2) Farmer, I.D. (1968) "Engineering properties of rocks", E & F.N. Spon Ltd., London,